



# 第九讲

# 机器人动力学

张 继 文

清华大学 机械工程系  
机械电子所

电话: (010) 62796698

E-mail: [jwzhang@mail.tsinghua.edu.cn](mailto:jwzhang@mail.tsinghua.edu.cn)



## 后续课程安排

| 周次 | 日期    | 教学内容             | 备注 |
|----|-------|------------------|----|
| 1  | 09.14 | 绪论               | 授课 |
| 2  | 09.21 | 机器人概述            | 授课 |
| 3  | 09.28 | 机器人基础知识          | 授课 |
| 4  | 10.05 | 实验1：机器人认知实验      | 实验 |
| 5  | 10.12 | 机器人运动学1          | 授课 |
| 6  | 10.19 | 机器人运动学2          | 授课 |
| 7  | 10.26 | 机器人运动学3          | 授课 |
| 8  | 11.02 | 机器人运动学4          | 授课 |
| 9  | 11.09 | 标定与编程            | 授课 |
| 10 | 11.16 | 实验2：工业机器人标定与编程实验 | 实验 |
| 11 | 11.23 | 轨迹规划             | 授课 |
| 12 | 11.30 | 机器人动力学           | 授课 |
| 13 | 12.07 | 运动控制             | 授课 |
| 14 | 12.14 | 路径规划             | 授课 |
| 15 | 12.21 | 机器人视觉            | 授课 |



## 本堂主要内容

- 机器人运动学回顾
- 机器人动力学概述
- 动力学建模方法
- 动力学方程分析及应用



## (一) 机器人运动学回顾

---

- 齐次变换矩阵
- DH规则为操作臂建模
- 正运动学：关节空间 $\rightarrow$ 操作空间
- 逆运动学：操作空间 $\rightarrow$ 关节空间
- 微分运动学：Jacobian矩阵



## (一) 机器人运动学回顾

### ■ 工具箱中的更多概念

✓  $SO(2)$ ,  $SE(2)$ ,  $SO(3)$ ,  $SE(3)$  特殊正交群, 特殊欧式群

|         |           |           |
|---------|-----------|-----------|
| $SO(2)$ | 2x2单位正交矩阵 | 2D姿态及旋转变换 |
| $SE(2)$ | 3x3齐次变换矩阵 | 2D位姿及位姿变换 |
| $SO(3)$ | 3x3单位正交矩阵 | 3D姿态及旋转变换 |
| $SE(3)$ | 4x4齐次变换矩阵 | 3D位姿及位姿变换 |



## (一) 机器人运动学回顾

### ■ DH规则建立机器人运动学模型

$$T_{i-1}^i = T(z_{i-1}, d_i) R(z_{i-1}, \theta_i) T(x_i, a_i) R(x_i, \alpha_i)$$

$$\begin{bmatrix} C\theta_i & -C\alpha_i S\theta_i & S\alpha_i S\theta_i & a_i C\theta_i \\ S\theta_i & C\alpha_i C\theta_i & -S\alpha_i C\theta_i & a_i S\theta_i \\ 0 & S\alpha_i & C\alpha_i & d_i \\ 0 & 0 & 0 & 1 \end{bmatrix}$$

$$T_0^n = T_0^1 T_1^2 \dots T_{n-1}^n$$

$$= \begin{bmatrix} R_0^n & P_0^n \\ 0 & 1 \end{bmatrix} = \begin{bmatrix} n & s & a & P_0^n \\ 0 & 0 & 0 & 1 \end{bmatrix}$$



机器人工具箱里怎样建立机器人模型



## (一) 机器人运动学回顾

### ■ 机器人正运动学，逆运动学，Jacobian矩阵

$$\begin{aligned} T_0^n &= T_0^1 T_1^2 \dots T_{n-1}^n \\ &= \begin{bmatrix} R_0^n & P_0^n \\ 0 & 1 \end{bmatrix} = \begin{bmatrix} n & s & a & P_0^n \\ 0 & 0 & 0 & 1 \end{bmatrix} \end{aligned}$$

已知  $T_{i-1}^i$  求  $T_0^n$

已知  $T_0^n$  求  $T_{i-1}^i$

$$\begin{bmatrix} \dot{x} \\ \dot{y} \\ \dot{z} \\ \omega_x \\ \omega_y \\ \omega_z \end{bmatrix} = \left[ \frac{dh(q)}{dq} \right]_{6 \times n} \begin{bmatrix} \dot{q}_1 \\ \dot{q}_2 \\ \vdots \\ \dot{q}_n \end{bmatrix}_{n \times 1}$$
$$J = \left( \frac{dh(q)}{dq} \right)_{6 \times n} = \begin{bmatrix} \frac{\partial h_1}{\partial q_1} & \frac{\partial h_1}{\partial q_2} & \dots & \frac{\partial h_1}{\partial q_n} \\ \frac{\partial h_2}{\partial q_1} & \frac{\partial h_2}{\partial q_2} & \dots & \frac{\partial h_2}{\partial q_n} \\ \vdots & \vdots & \ddots & \vdots \\ \frac{\partial h_6}{\partial q_1} & \frac{\partial h_6}{\partial q_2} & \dots & \frac{\partial h_6}{\partial q_n} \end{bmatrix}_{6 \times n}$$



## (二) 机器人动力学概述

---

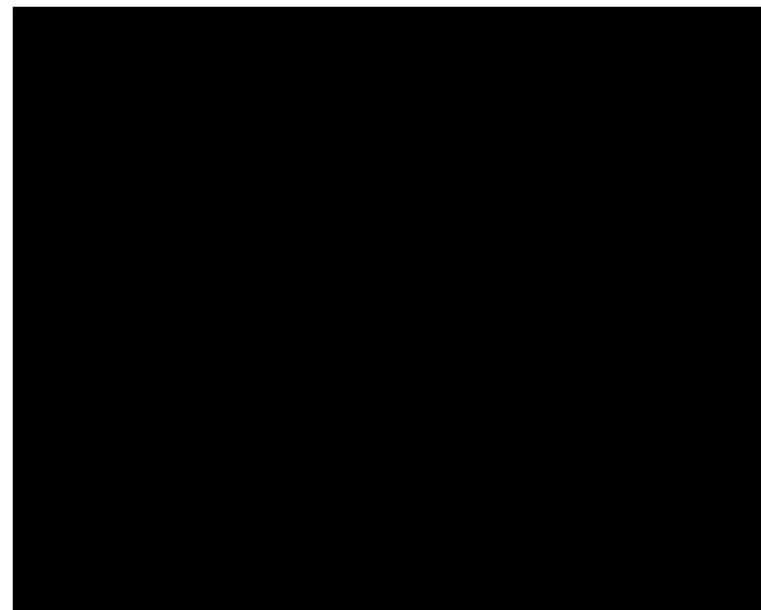
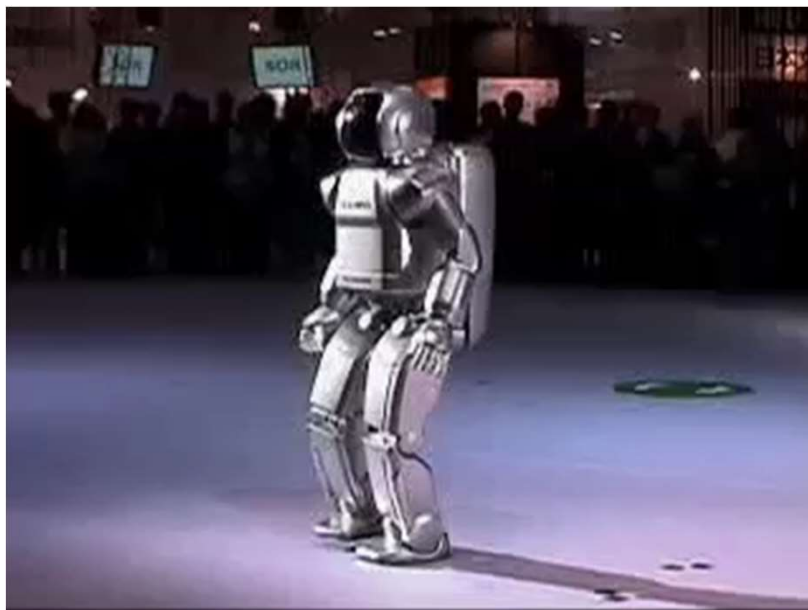
- **运动学方程只是描述了机器人的位姿、速度、加速度等运动学参数的求解，相互关系。但本质上，力和力矩产生了运动，动力学方程描述了力和运动的关系**
  
- **动力学方程的用途**
  - ✓ **设计机器人**
  - ✓ **计算机仿真**
  - ✓ **运动控制算法**





## (二) 机器人动力学概述

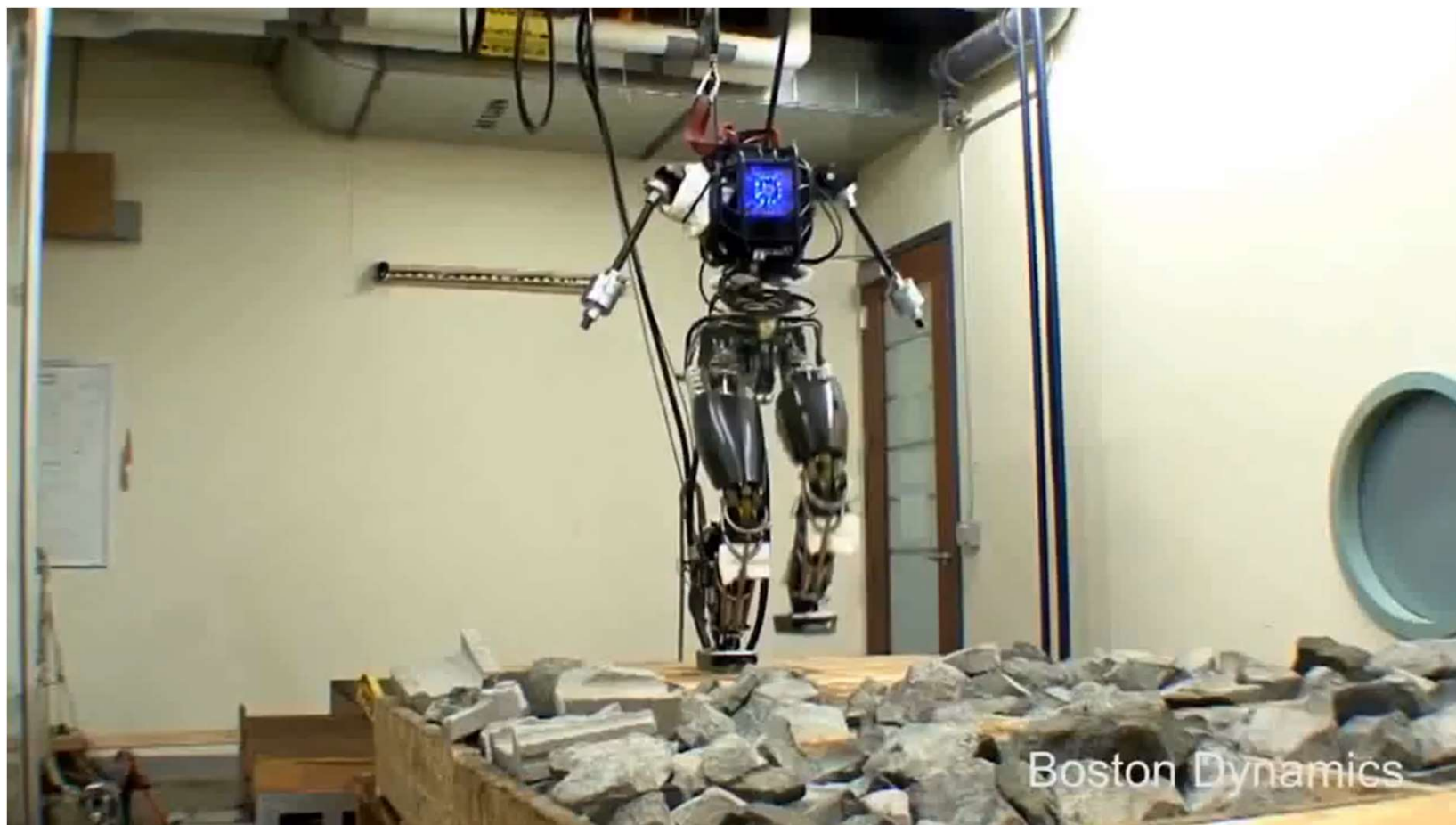
### 2.1 动力学的重要作用





## (二) 机器人动力学概述

### 2.1 动力学的重要作用

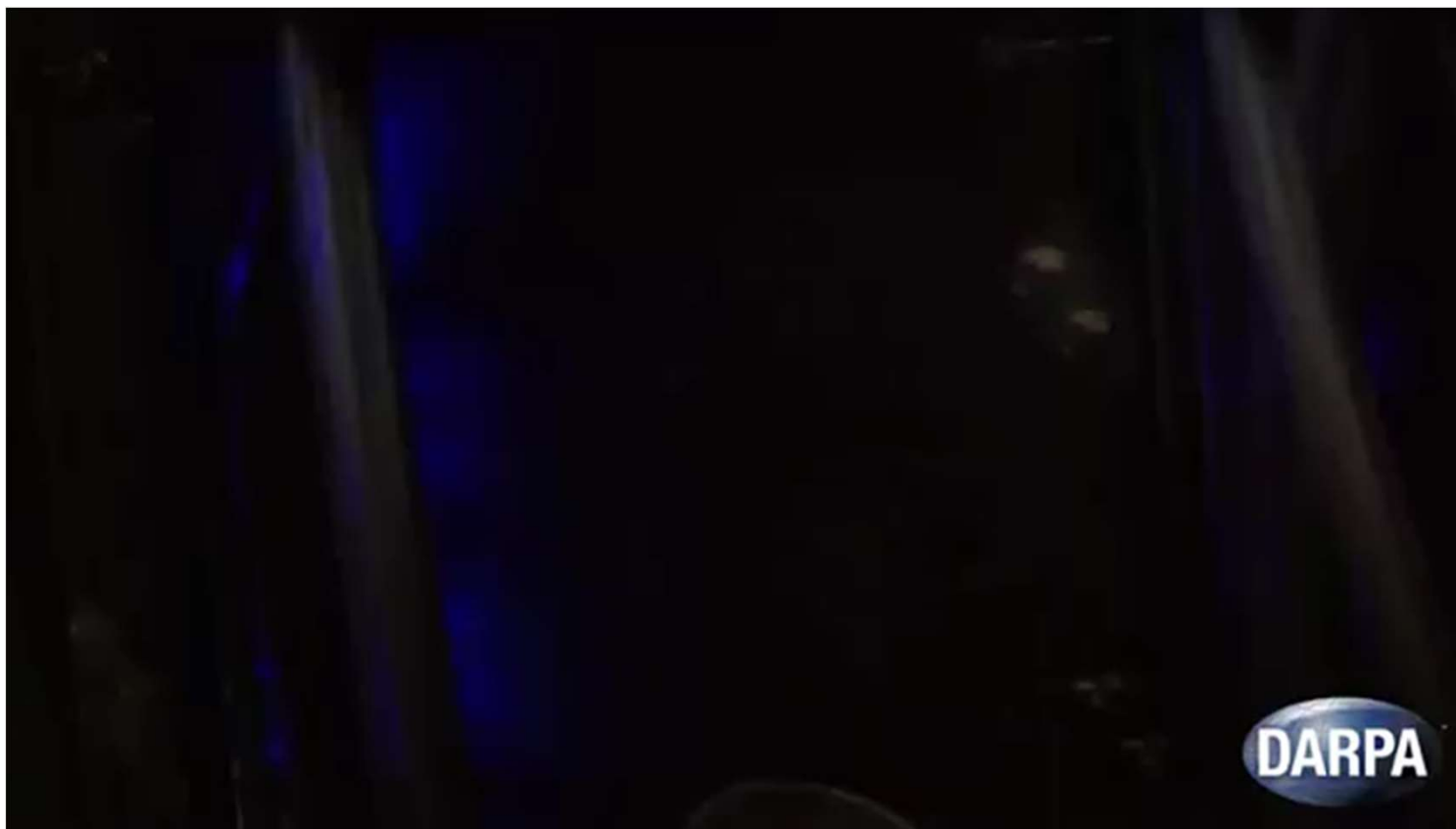




## (二) 机器人动力学概述

---

### 2.1 动力学的重要作用

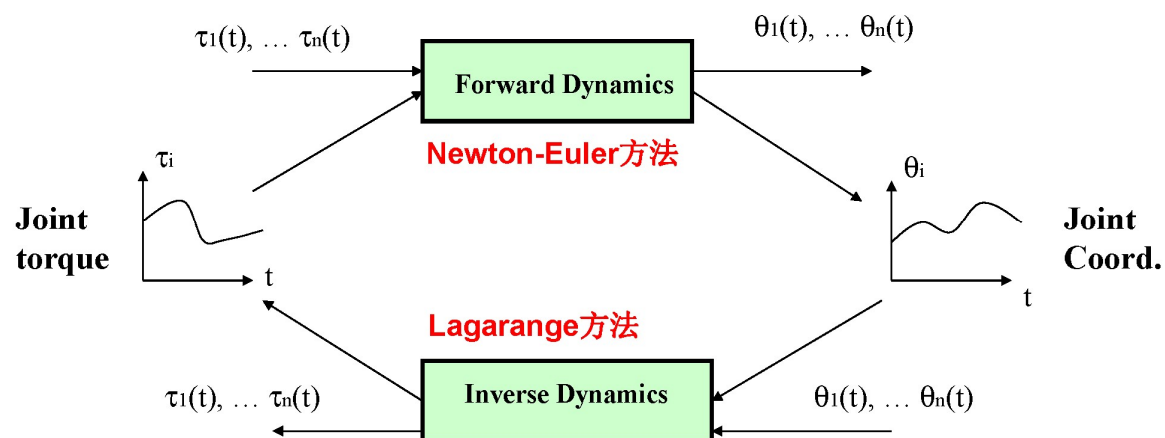




## (二) 机器人动力学概述

### 2.2 机器人动力学建模方法

- Lagrange方法
  - 基于虚位移和虚功原理，针对整体系统
  - 易于从理论角度理解动力学
- Newton-Euler方法
  - 基于力平衡和力矩平衡，递推式算法
  - 易于计算机进行数值计算





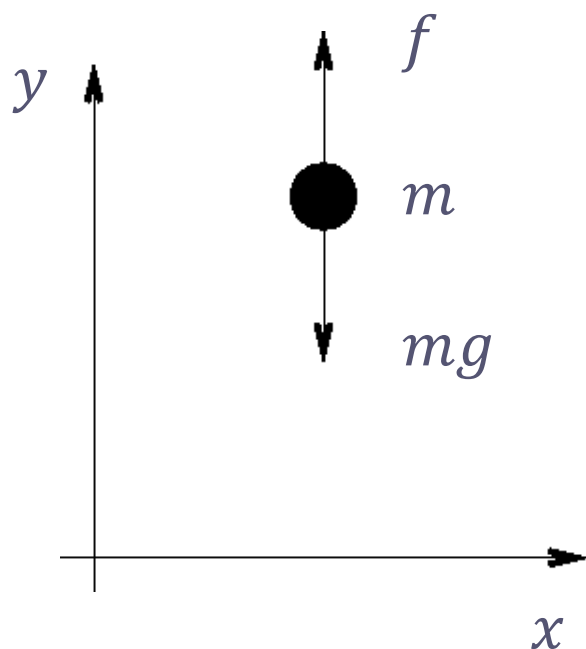
## 本堂主要内容

- 机器人运动学回顾
- 机器人动力学概述
- 动力学建模方法
- 动力学方程分析及应用



## 3.1 虚功原理

### ■ 针对一个质点建立动力学方程



$$m\ddot{y} = f - mg$$

牛顿第二定律

$$K = \frac{1}{2}m\dot{y}^2$$

动能

$$P = mgy$$

重力势能

$$L = K - P$$

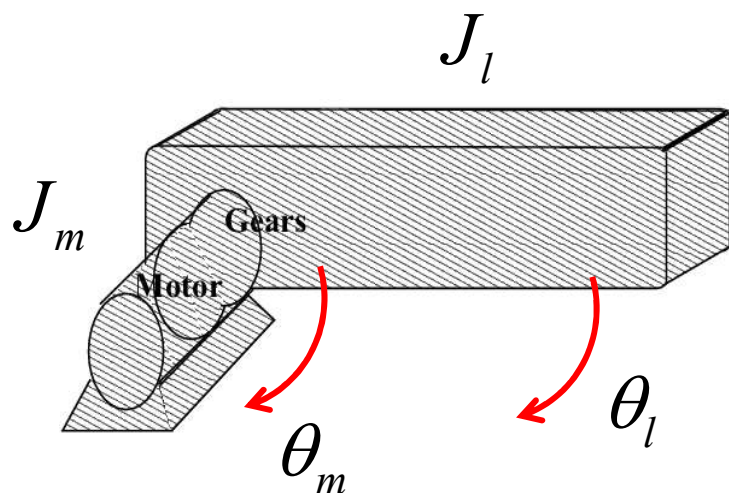
拉格朗日函数

$$\frac{d}{dt} \frac{\partial L}{\partial \dot{y}} - \frac{\partial L}{\partial y} = f$$

拉格朗日方程

## 3.1 简单示例

### ■ 一自由度机械臂建立动力学方程



$$\begin{aligned}
 K &= \frac{1}{2} J_m \dot{\theta}_m^2 + \frac{1}{2} J_\ell \dot{\theta}_\ell^2 \\
 &= \frac{1}{2} (r^2 J_m + J_\ell) \dot{\theta}_\ell^2
 \end{aligned}$$

动能

$$P = M g \ell (1 - \cos \theta_\ell)$$

重力势能

$$\mathcal{L} = \frac{1}{2} J \dot{\theta}_\ell^2 - M g \ell (1 - \cos \theta_\ell)$$

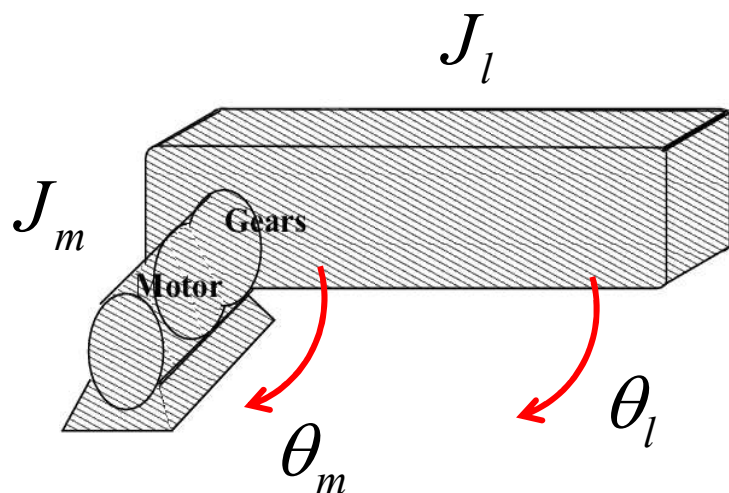
拉格朗日函数



## (三) Lagrange 动力学建模方法

### 3.1 简单示例

#### ■ 一自由度机械臂建立动力学方程



$$\frac{d}{dt} \frac{\partial \mathcal{L}}{\partial \dot{q}_i} - \frac{\partial \mathcal{L}}{\partial q_i} = \tau_i \quad i = 1, \dots, n$$

拉格朗日方程

$$J\ddot{\theta}_\ell + Mgl \sin \theta_\ell = \tau_\ell$$

动力学方程

#### ■ 电机的力矩输出还需要克服摩擦阻力

$$\tau = u - B\dot{\theta}_\ell$$

$$J\ddot{\theta}_\ell + B\dot{\theta}_\ell + Mgl \sin \theta_\ell = u$$

控制方程





## 3.2 Lagrange动力学方程

$$\frac{d}{dt} \frac{\partial \mathcal{L}}{\partial \dot{q}_i} - \frac{\partial \mathcal{L}}{\partial q_i} = \tau_i \quad i = 1, \dots, n$$

- 联系DH规则，自然的取n个关节变量作为广义坐标
- 只要能够写出拉格朗日函数，则立即可得动力学方程
- 正确的写出系统的动能和保守力势能即可得拉格朗日函数



## 3.2 Lagrange动力学方程

### ■ 构成机器人杆件的动能

$$K = \frac{1}{2} m \mathbf{v}^T \mathbf{v} + \frac{1}{2} \boldsymbol{\omega}^T \mathbf{I} \boldsymbol{\omega}$$

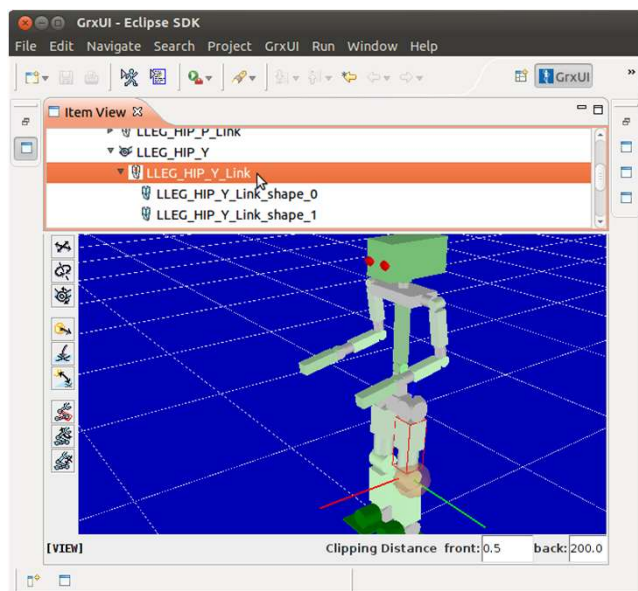
- 对于平面条件下的转动运动，用惯量矩  $J$  来描述转动的惯性，但在空间中，刚体的运动是三维的，用惯性张量  $\mathbf{I}$  来描述



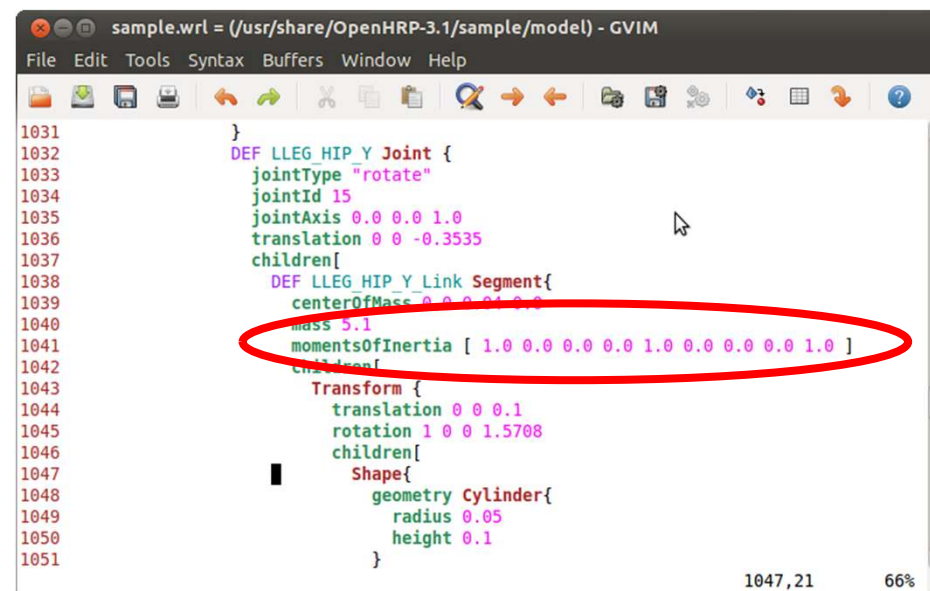
## (三) Lagrange 动力学建模方法

### 3.3 惯性张量

- 例子：在动力学仿真软件的机器人模型中需要设定惯性张量



仿人机器人模型



模型描述文件

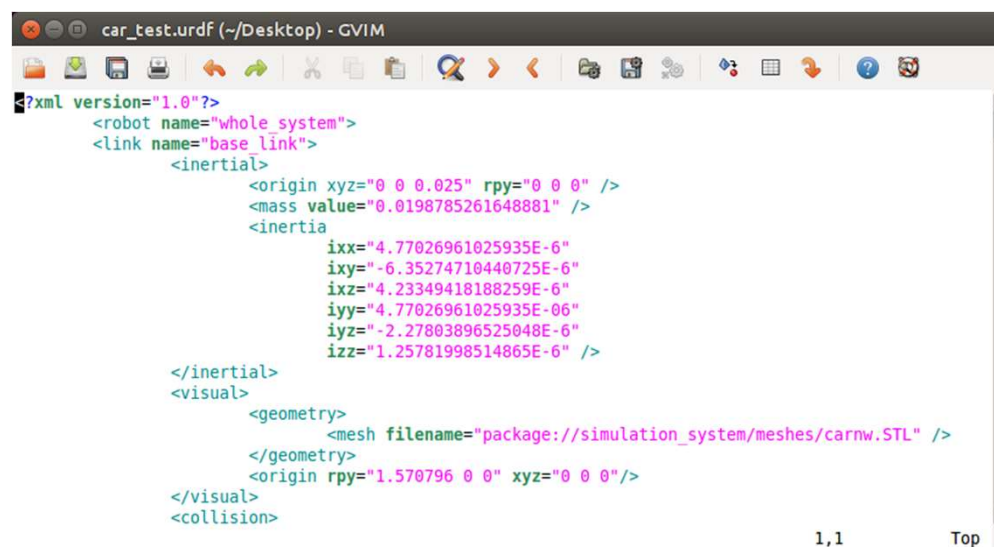


## (三) Lagrange 动力学建模方法

### 3.3 惯性张量



UR-10协作手臂



UR-10模型描述文件



## 3.3 惯性张量

- 惯性张量/表达了刚体的质量分布

$$I = \begin{bmatrix} I_{xx} & I_{xy} & I_{xz} \\ I_{yx} & I_{yy} & I_{yz} \\ I_{zx} & I_{zy} & I_{zz} \end{bmatrix}$$

惯量主矩

$$I_{xx} = \int \int \int (y^2 + z^2) \rho(x, y, z) dx dy dz$$

$$I_{yy} = \int \int \int (x^2 + z^2) \rho(x, y, z) dx dy dz$$

$$I_{zz} = \int \int \int (x^2 + y^2) \rho(x, y, z) dx dy dz$$

惯量积

$$I_{xy} = I_{yx} = - \int \int \int xy \rho(x, y, z) dx dy dz$$

$$I_{xz} = I_{zx} = - \int \int \int xz \rho(x, y, z) dx dy dz$$

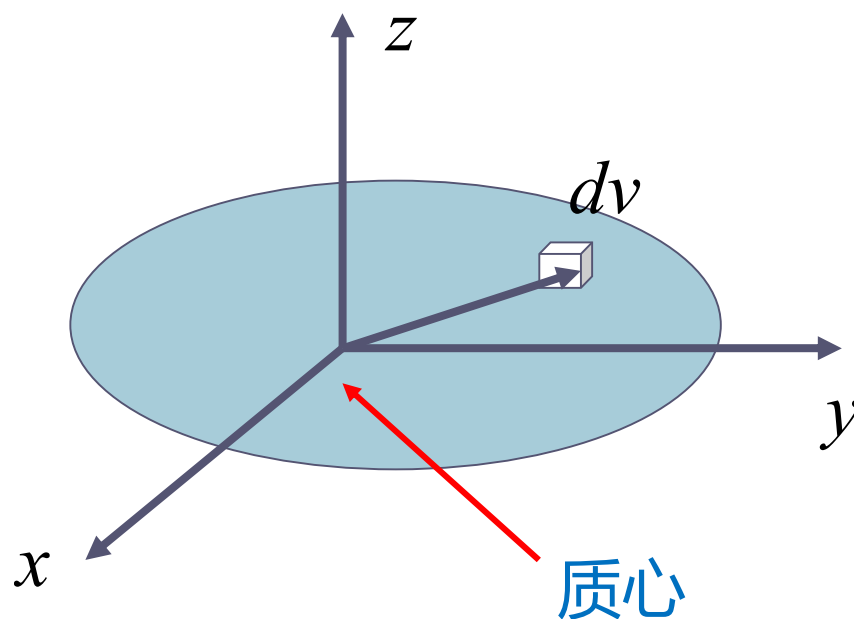
$$I_{yz} = I_{zy} = - \int \int \int yz \rho(x, y, z) dx dy dz$$



## 3.3 惯性张量

- 惯性张量/表达了刚体的质量分布

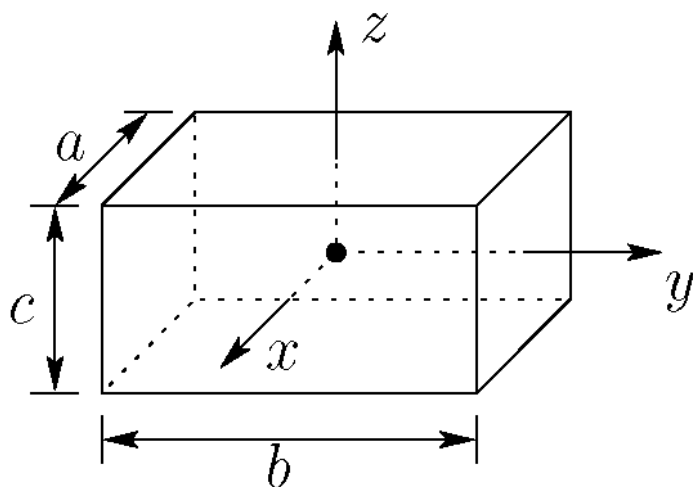
$$\mathbf{I} = \begin{bmatrix} I_{xx} & I_{xy} & I_{xz} \\ I_{yx} & I_{yy} & I_{yz} \\ I_{zx} & I_{zy} & I_{zz} \end{bmatrix}$$





## 3.3 惯性张量

■ 例子: 长方体尺寸如图, 质量分布 $\rho$ 均匀



$$\begin{aligned} I_{xx} &= \int \int \int (y^2 + z^2) \rho(x, y, z) dx dy dz \\ &= \int_{-c/2}^{c/2} \int_{-b/2}^{b/2} \int_{-a/2}^{a/2} (y^2 + z^2) \rho(x, y, z) dx dy dz = \rho \frac{abc}{12} (b^2 + c^2) \end{aligned}$$

$$I_{yy} = \rho \frac{abc}{12} (a^2 + c^2) \quad ; \quad I_{zz} = \rho \frac{abc}{12} (a^2 + b^2)$$



## 3.3 惯性张量

- 针对任意的位于质心的坐标系

$$\mathbf{I}_2 = ({}^2\mathbf{R}_1) \cdot \mathbf{I}_1 \cdot ({}^2\mathbf{R}_1)^T$$

- ${}^2R_1$  是两个坐标系之间对应的旋转矩阵
- 若机器人连杆在自身固连坐标系下的惯性张量  $\mathbf{I}_1$  、固连坐标系与全局坐标系的旋转变换关系  ${}^2R_1$  已知，则立即可得全局坐标系下的惯性张量  $\mathbf{I}_2$





## 3.4 动能

- 依据Jacobian矩阵，可以将杆件动能表达为广义坐标 $q$ 的函数

$$K = \frac{1}{2} m_i \mathbf{v}_i^T \mathbf{v}_i + \frac{1}{2} \boldsymbol{\omega}_i^T \mathbf{I}_i \boldsymbol{\omega}_i$$

第 $i$ 个杆件

$$\mathbf{v}_i = \mathbf{J}_{v_i}(\mathbf{q}) \dot{\mathbf{q}} \quad \boldsymbol{\omega}_i = \mathbf{J}_{\omega_i}(\mathbf{q}) \dot{\mathbf{q}}$$

Jacobian阵

$$K = \frac{1}{2} \dot{\mathbf{q}}^T \sum_{i=1}^n [m_i \mathbf{J}_{v_i}(\mathbf{q})^T \mathbf{J}_{v_i}(\mathbf{q}) + \mathbf{J}_{\omega_i}(\mathbf{q})^T \mathbf{R}_i(\mathbf{q}) \mathbf{I}_i \mathbf{R}_i(\mathbf{q})^T \mathbf{J}_{\omega_i}(\mathbf{q})] \dot{\mathbf{q}}$$

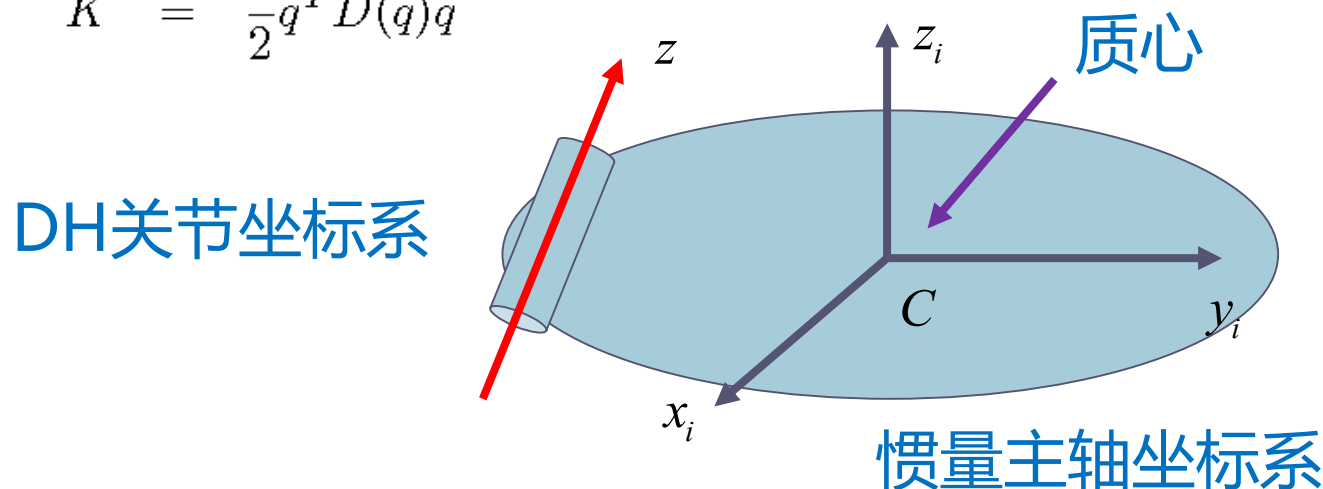
$$K = \frac{1}{2} \dot{\mathbf{q}}^T \mathbf{D}(\mathbf{q}) \dot{\mathbf{q}}$$

## 3.4 动能

- 依据Jacobian矩阵，可以将杆件动能表达为广义坐标 $q$ 的函数

$$K = \frac{1}{2} \dot{q}^T \sum_{i=1}^n \left[ m_i J_{v_i}(q)^T J_{v_i}(q) + \underbrace{J_{\omega_i}(q)^T R_i(q) I_i R_i(q)^T J_{\omega_i}(q)} \right] \dot{q}$$

$$K = \frac{1}{2} \dot{q}^T D(q) \dot{q}$$





### (三) Lagrange 动力学建模方法

## 3.4 保守力势能

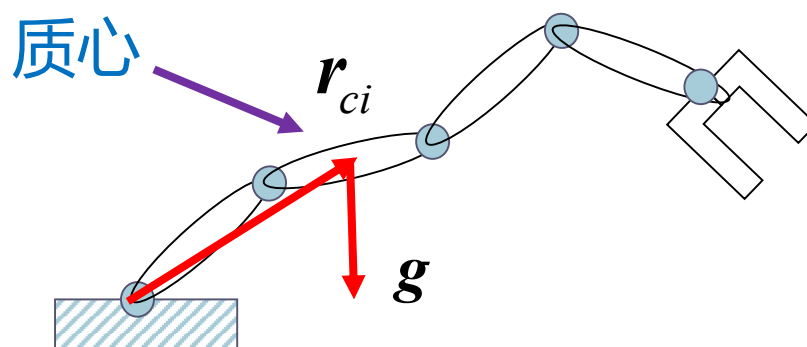
- 在地面主要是重力势能，如果有弹性元件，则需包含弹性势能

$$P_i = \mathbf{g}^T \cdot \mathbf{r}_{ci} \cdot m_i$$

第*i*个杆件势能

$$P = \sum_{i=1}^N P_i = \sum_{i=1}^N \mathbf{g}^T \cdot \mathbf{r}_{ci} \cdot m_i$$

整体势能





## 3.4 Lagrange函数

$$K = \frac{1}{2} \sum_{i,j}^n d_{ij}(q) \dot{q}_i \dot{q}_j := \frac{1}{2} \dot{q}^T D(q) \dot{q}$$

$$L = K - P = \frac{1}{2} \sum_{i,j} d_{ij}(q) \dot{q}_i \dot{q}_j - P(q)$$

$$\frac{\partial L}{\partial \dot{q}_k} = \sum_j d_{kj} \dot{q}_j \quad \frac{d}{dt} \frac{\partial L}{\partial \dot{q}_k} = \sum_i d_{ki} \ddot{q}_i + \sum_j \frac{d}{dt} d_{kj} \dot{q}_j$$

$$\frac{\partial L}{\partial q_k} = \frac{1}{2} \sum_{i,j} \frac{\partial d_{ij}}{\partial q_k} \dot{q}_i \dot{q}_j - \frac{\partial P}{\partial q_k}$$

$$\sum_j d_{kj} \ddot{q}_j + \sum_{i,j} \left\{ \frac{\partial d_{kj}}{\partial q_i} - \frac{1}{2} \frac{\partial d_{ij}}{\partial q_k} \right\} \dot{q}_i \dot{q}_j - \frac{\partial P}{\partial q_k} = \tau_k$$



## 3.5 动力学方程

$$\sum_{j=1}^n d_{ij}(\mathbf{q}) \ddot{q}_j + \sum_{j=1}^n \sum_{k=1}^n c_{ijk}(\mathbf{q}) \dot{q}_k \dot{q}_j + g_i(\mathbf{q}) = \tau_i \quad i = 1, \dots, n.$$

$$\mathbf{D}(\mathbf{q}) \ddot{\mathbf{q}} + \mathbf{C}(\mathbf{q}, \dot{\mathbf{q}}) \dot{\mathbf{q}} + \mathbf{g}(\mathbf{q}) = \boldsymbol{\tau}$$

- 第一项是广义坐标的二阶微分项或加速度项
- 第二项是广义坐标的一阶微分的二次项，离心力项或科氏项
- 第三项是重力项
- 三项系数都依赖于广义坐标 $\mathbf{q}$



## 3.5 动力学方程

- 上述模型是关节处直接输出力矩，不存在摩擦力的状况
  - 驱动机构的细节？电机、减速器
  - 摩擦阻力？末端的非保守力？

$$D(q)\ddot{q} + C(q, \dot{q})\dot{q} + g(q) + F(\dot{q}) + J(q)^T W = \tau$$

- $F(\dot{q})$ 即为摩擦阻力，与关节运动速度有关
- $J(q)^T W$ 是末端作用力引起的关节广义力变化



## 3.5 动力学方程

- $J(q)^T W$  是末端作用力引起的关节广义力变化——静力学

$$\tau_0 = \underbrace{J(q)^T}_{\text{Jacobian的逆}} W \quad \text{外部力}$$

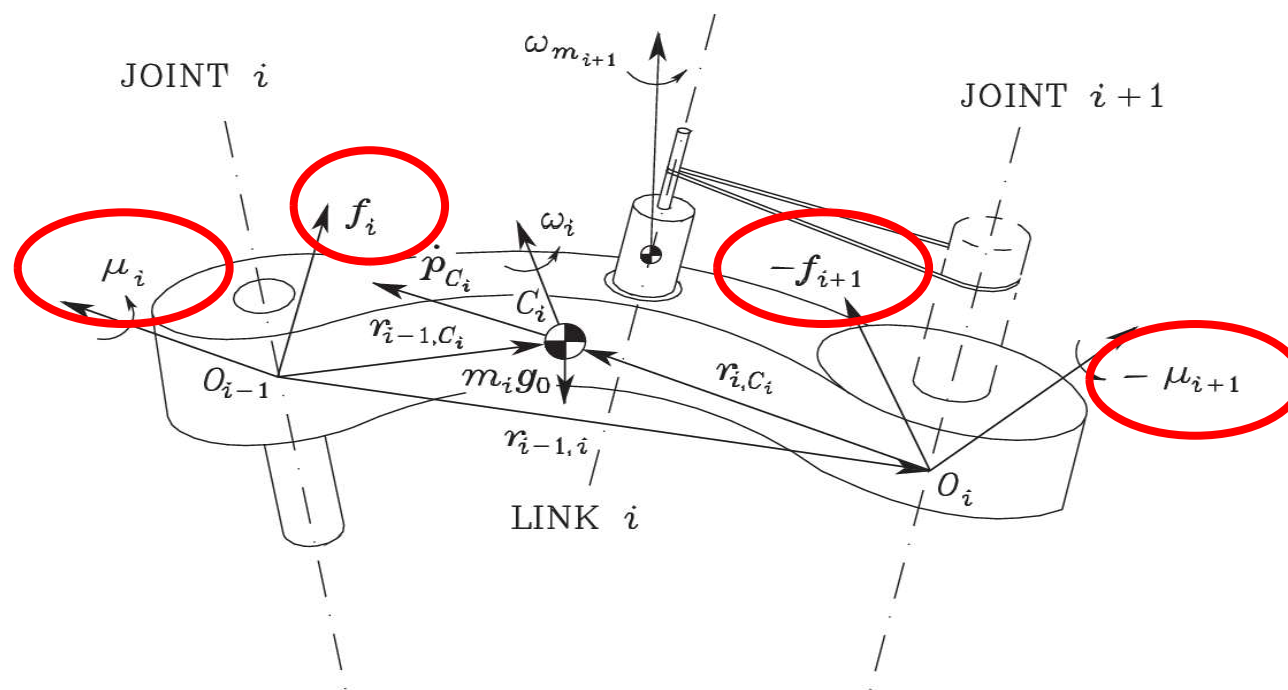
- 由虚功原理得出

$$\begin{aligned}\delta W_\tau &= \tau^T \delta q \\ \delta W_\gamma &= \gamma_e^T J(q) \delta q,\end{aligned}$$



## 3.6 Newton-Euler思想简介

- Lagrange方法是将机器人视为一个系统，而 Newton-Euler方法则是分部件建立方程





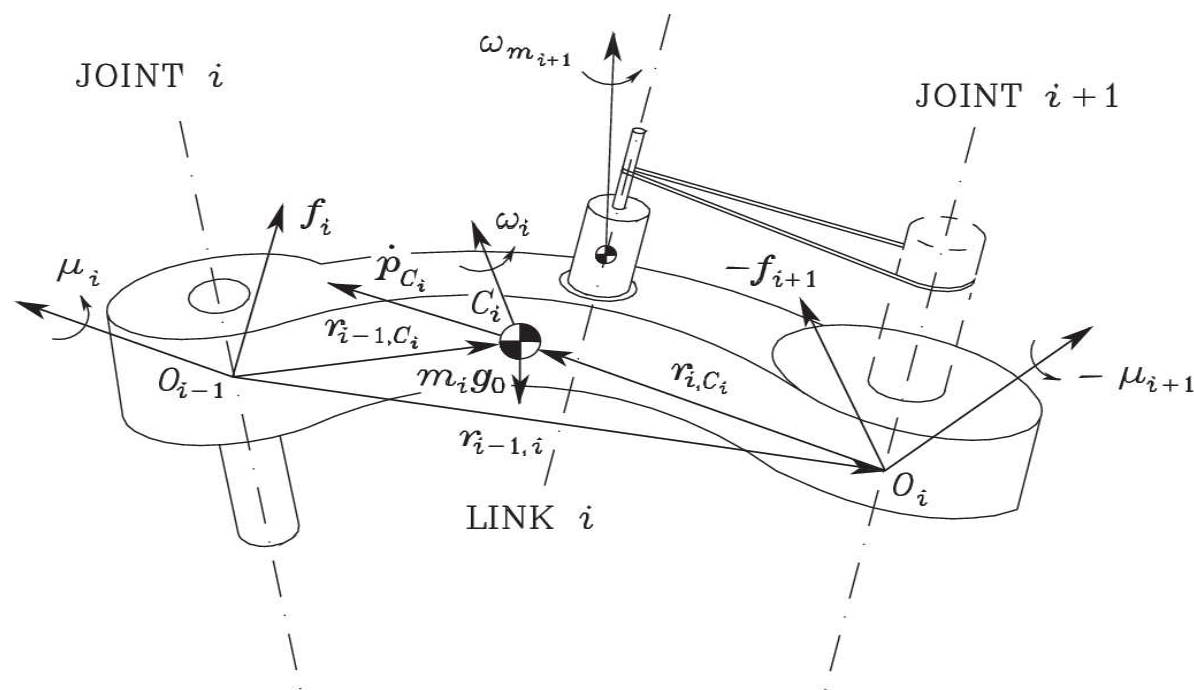


### (三) Lagrange 动力学建模方法

## 3.6 Newton-Euler思想简介

$$\underline{f_i - f_{i+1} + m_i g_0 = m_i \ddot{p}_{C_i}.$$

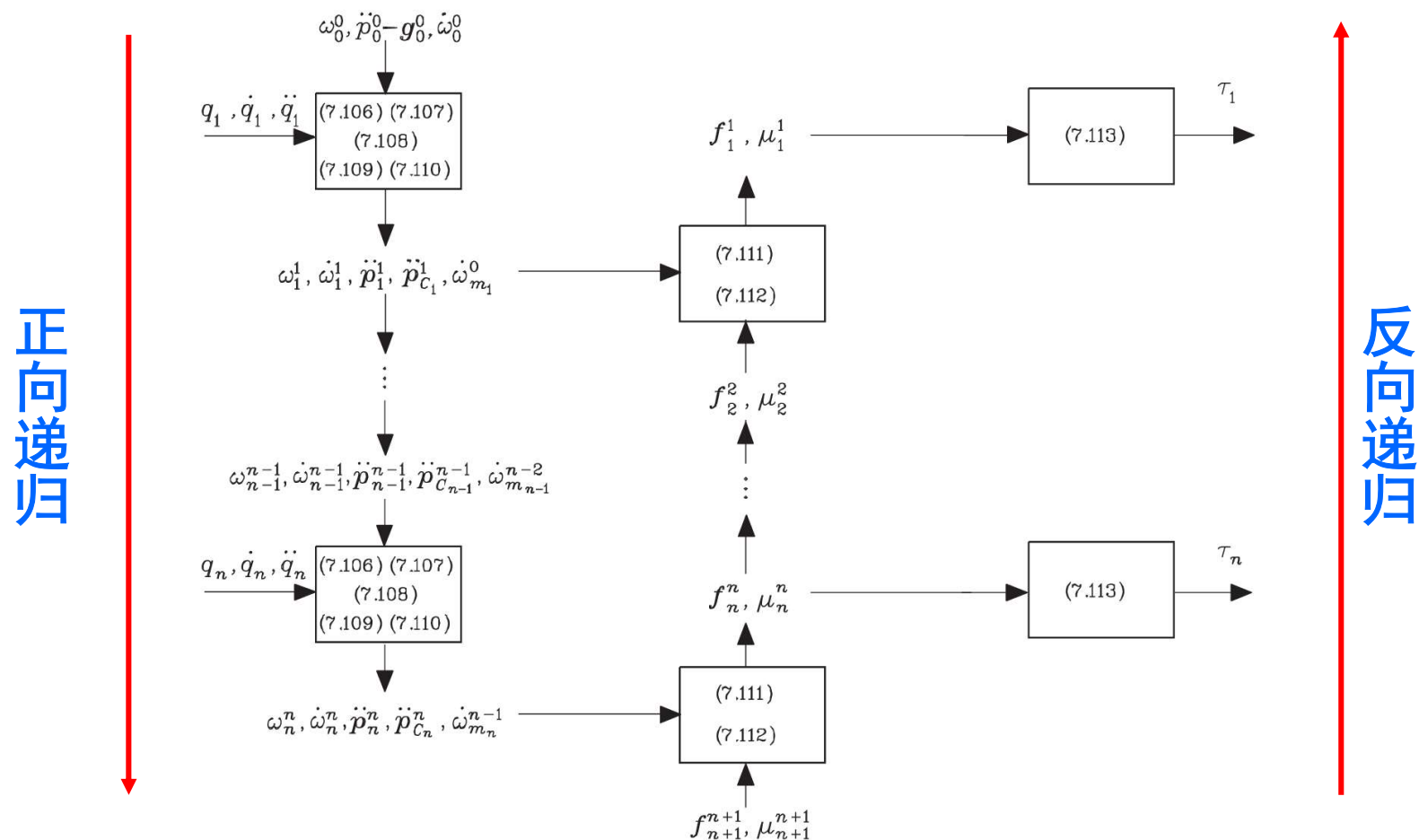
$$\underline{\mu_i + f_i \times r_{i-1, C_i} - \mu_{i+1} - f_{i+1} \times r_{i, C_i} = \frac{d}{dt}(\bar{I}_i \omega_i + k_{r, i+1} \dot{q}_{i+1} I_{m_{i+1}} z_{m_{i+1}}),$$





### (三) Lagrange 动力学建模方法

## 3.6 Newton-Euler思想简介



SICILIANO, BRUNO, Robotics Modelling, Planning and Control, chapter 7



## 本堂主要内容

- 机器人运动学回顾
- 机器人动力学概述
- 动力学建模方法
- 动力学方程分析及应用



## (四) 动力学方程分析及应用

# 4.1 动力学方程数值计算

```
>> mdl_puma560
```

创建机器人

```
>> p560.links(2).dyn
```

动力学参数显示

Link 2::Revolute(std): theta=q, d=0, a=0.4318, alpha=0, offset=0

m = 17.4

r = -0.3638    0.006    0.2275

I = | 0.13    0    0 |  
     | 0    0.524    0 |  
     | 0    0    0.539 |

Jm = 0.0002

Bm = 0.000817

Tc = 0.126    (+) -0.071    (-)

G = 107.8

qlim = -0.785398 to 3.926991

DH参数

质量

质心位置

惯性张量

电机惯性矩

电机摩擦系数

库伦摩擦系数

齿轮减速比

转角限位



## 4.1 动力学方程数值计算

$$D(q)\ddot{q} + C(q, \dot{q})\dot{q} + g(q) + F(\dot{q}) + J(q)^T W = \tau$$

>>  $Q = p560.rne([qn, qz, qz], 'fext', W)$  逆动力学计算

>>  $gravload = p560.gravload(qn)$  重力项

>>  $D = p560.inertia(qn)$  惯量矩阵

>>  $C = p560.coriolis(qn, qd)$  科氏项



## 4.1 动力学方程数值计算

$$D(q)\ddot{q} + C(q, \dot{q})\dot{q} + g(q) + F(\dot{q}) + J(q)^T W = \tau$$

`>> p560.payload(2.5, [0 0 0.1]);` 外加力项

`>> qn(1)*p560.dyn(1).Bm+ p560.dyn(1).Tc` 摩擦力项

`>> [Q, Wb] = p560.rne(qn, qz, qz);` 基座受力

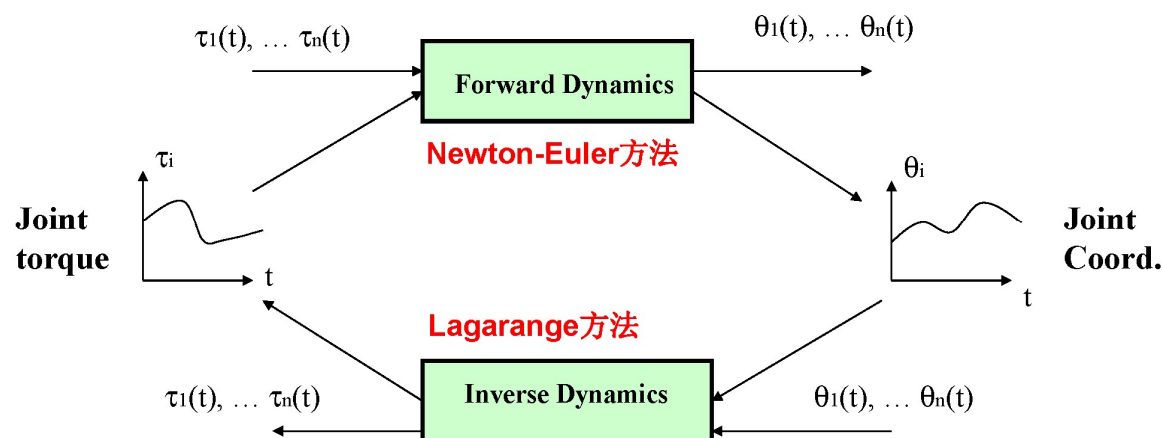


获得基座受力的潜在应用



## 4.2 动力学模型的应用

- 动力学的两大问题：正向动力学，逆动力学
  - 正向动力学：已知关节广义力，求机器人运动，多用于计算机仿真
  - 逆动力学：已知机器人运动，求关节广义力，多用于关节控制器设计





## 4.2 正向动力学

$$\ddot{\mathbf{q}} = \mathbf{D}^{-1}(\mathbf{q}) \left( \boldsymbol{\tau} - \mathbf{C}(\mathbf{q}, \dot{\mathbf{q}}) \dot{\mathbf{q}} + \mathbf{g}(\mathbf{q}) + \mathbf{F}(\dot{\mathbf{q}}) + \mathbf{J}(\mathbf{q})^T \mathbf{W} \right)$$

$$\ddot{\mathbf{q}}_{k+1} = \mathbf{D}^{-1}(\mathbf{q}_k) \left( \boldsymbol{\tau} - \mathbf{C}(\mathbf{q}_k, \dot{\mathbf{q}}_k) \dot{\mathbf{q}}_k + \mathbf{g}(\mathbf{q}_k) + \mathbf{F}(\dot{\mathbf{q}}_k) + \mathbf{J}(\mathbf{q}_k)^T \mathbf{W} \right)$$

$$\dot{\mathbf{q}}_{k+1} = \dot{\mathbf{q}}_k + \ddot{\mathbf{q}}_{k+1} \cdot \Delta t$$

$$\mathbf{q}_{k+1} = \mathbf{q}_k + \frac{\dot{\mathbf{q}}_k + \dot{\mathbf{q}}_{k+1}}{2} \cdot \Delta t$$

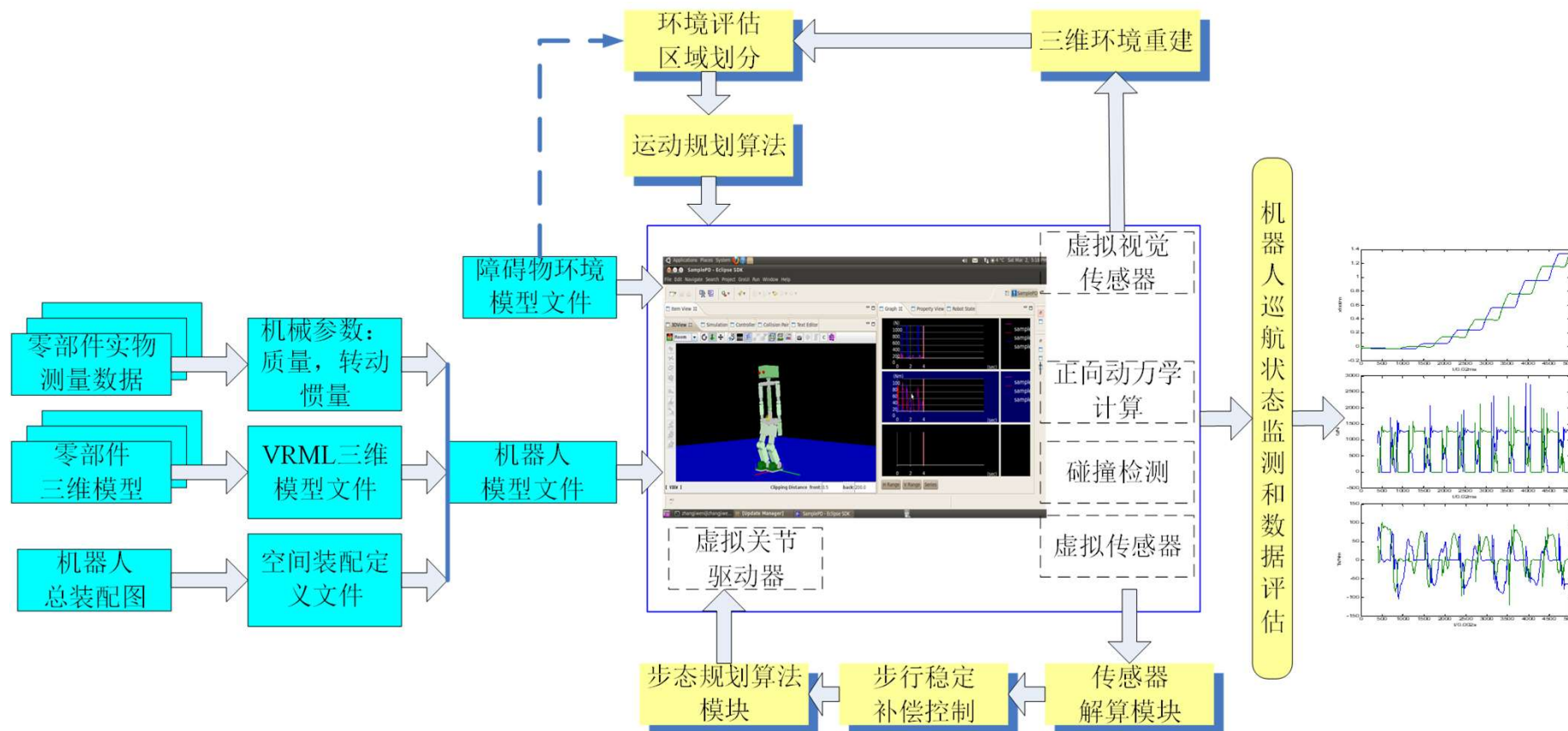
- 动力学系统状态方程的概念和表达形式
- 求出关节变量即可得整体机器人的运动状态变量
- 数值积分方法：欧拉积分，Runge—Kutta积分





## （四）动力学方程分析及应用

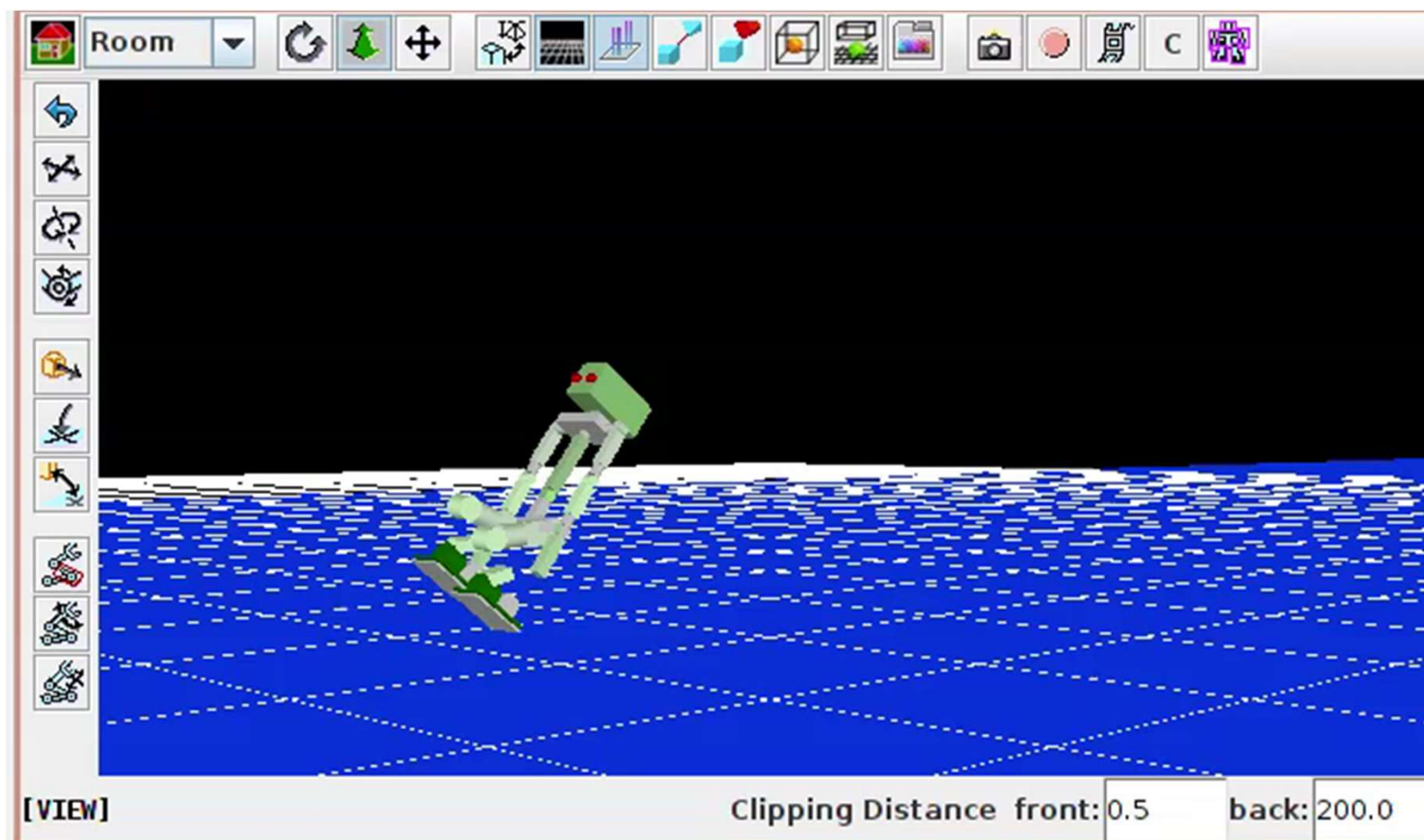
### 4.3 动力学仿真示例 — OpenHRP





## (四) 动力学方程分析及应用

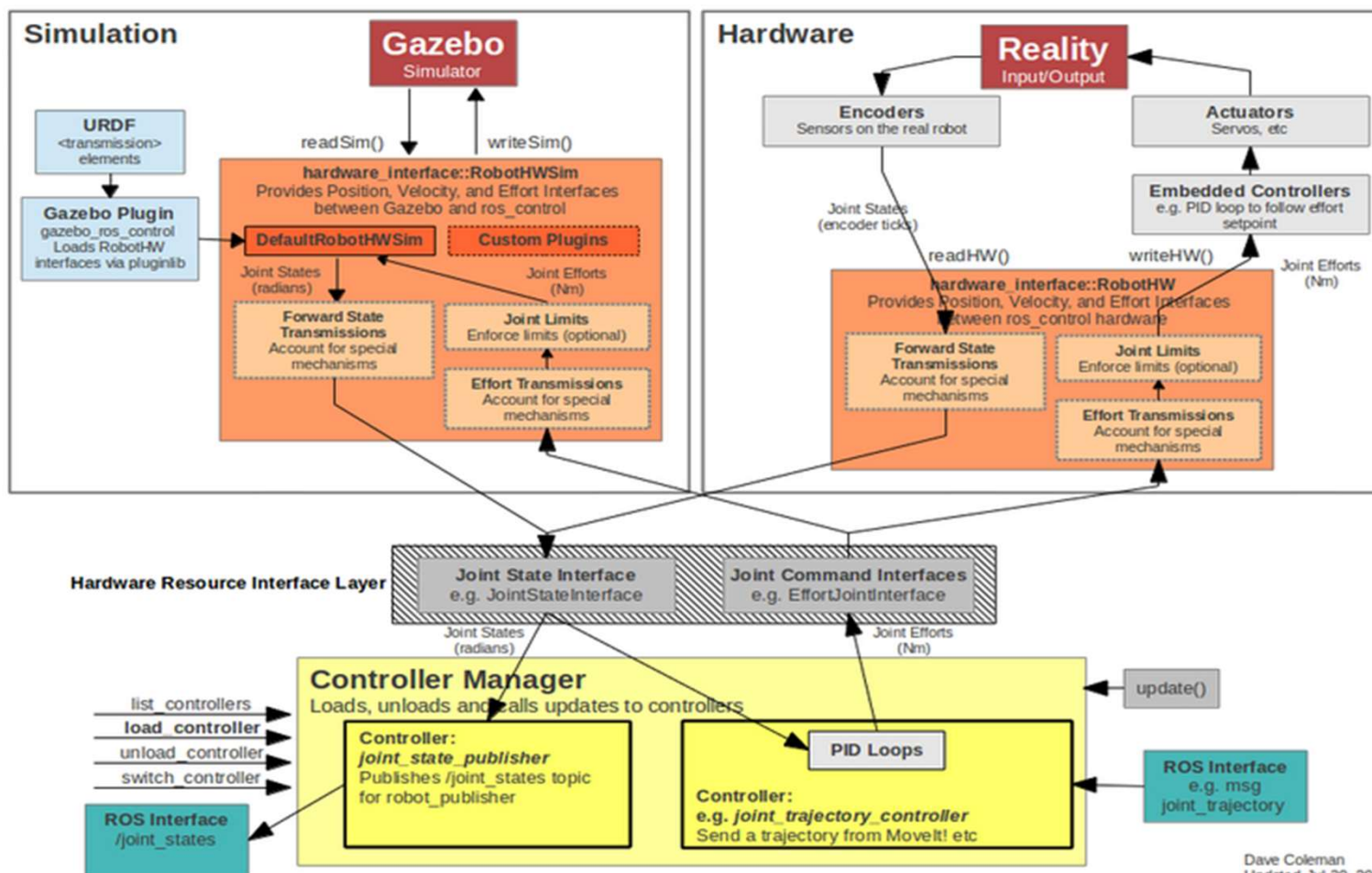
### 4.3 动力学仿真示例 — OpenHRP



## (四) 动力学方程分析及应用

# 4.3 动力学仿真示例 — Gazebo/ROS

GAZEBO + ROS + ros\_control



Dave Coleman  
Updated Jul 30, 2013



## 4.3 动力学仿真示例 — Gazebo/ROS

### ■ 环境模型定义阶段

- 三维造型软件建立模型，如Solidworks，生成stl格式的文件
- 定义运动机构运动学参数，生成URDF文件
- 定义碰撞模型形状、实体零件质量、转动惯量

### ■ 控制器定义阶段(下节课的内容)

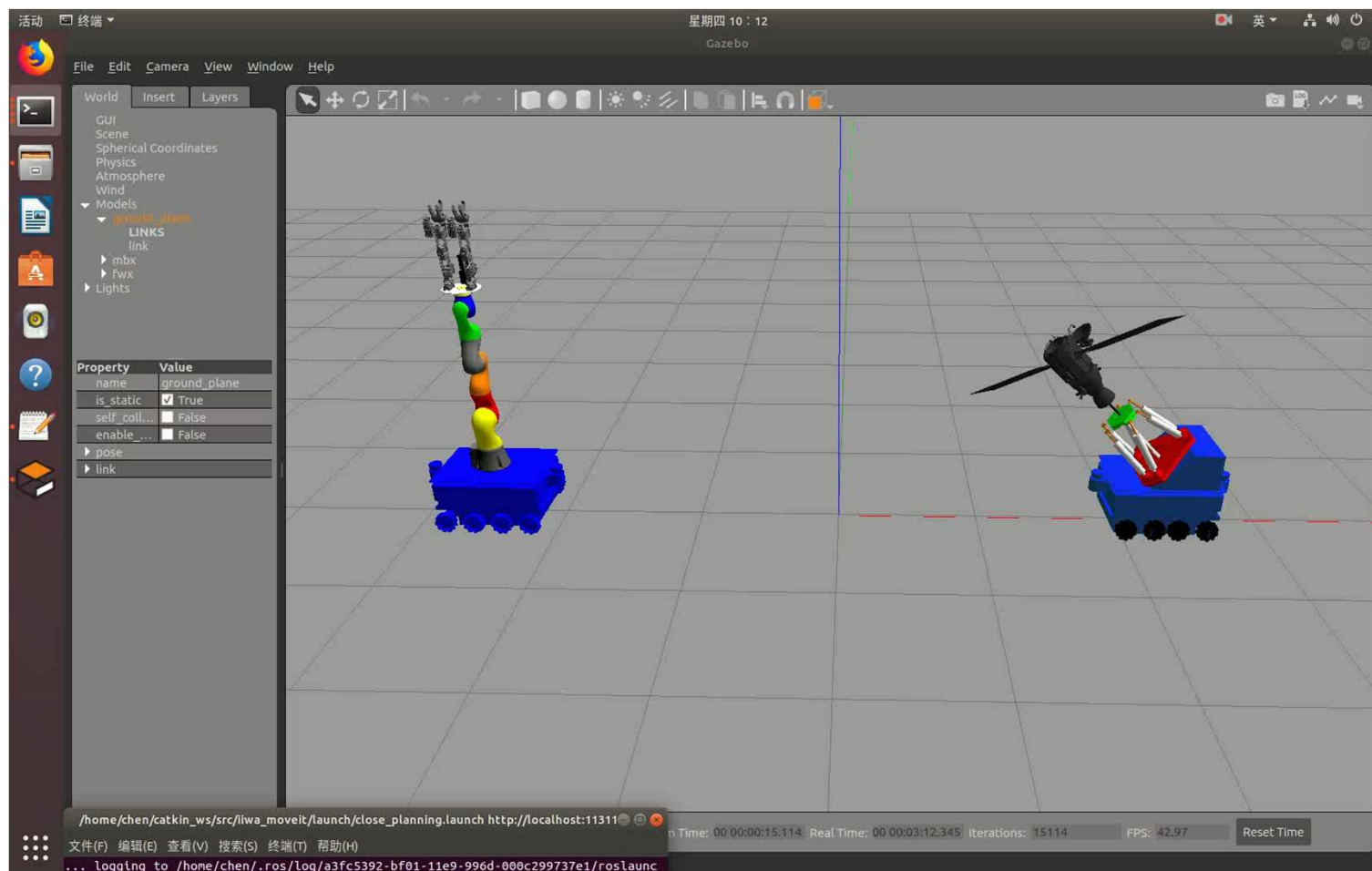
- 控制器种类、PID参数、更新频率等

### ■ 运行仿真阶段



## (四) 动力学方程分析及应用

# 4.3 动力学仿真示例 — Gazebo/ROS





# 机器人动力学

- 虚功原理及Lagrange 动力学方程
- 惯性张量
- 操作臂动力学方程
- 求解逆向动力学问题
- 求解正向动力学问题及计算机仿真





## 作业1

下载并安装Matlab2018b以及 Robotics Toolbox

## 作业2

自行举例，利用Matlab对通过一系列路径点的轨迹规划算法进行对比，(1) 路径点速度为0的三次多项式轨迹；(2)加速度连续条件下的三次多项式轨迹；(3)过路径点的用抛物线过渡的线性插值。

## 作业3

自行举例，对比差异(1)利用Matlab对笛卡尔空间直线插补和轴角法插补(2)将末端分解为 $x, y, z, a, b, c$ 六个自由度进行独立轨迹规划

## 作业4

利用机器人工具箱新建一个机器人动力学模型，针对上周的笛卡尔空间下的末端轨迹规划结果，绘制关节力矩曲线以及基座受力曲线



本次授课的PPT和作业均可在在网  
络学堂上下载。

作业截止日期: 12月14日之前

